

名古屋大学工学部 正員 河上 省吾
 名古屋大学工学部 正員 磯部 友彦
 名古屋大学工学部 学生員 仙石 忠広

1 はじめに

交通計画を策定するにあたって人間の1日の行動パターンを把握しておくことは、非常に重要である。というのは、近年の交通計画において交通発生¹⁾の基盤とな²⁾ている社会経済システムや生活様式の変化、特に勤務時間の短縮、週休2日制度³⁾とい⁴⁾た時間制限の変更による人間の行動パターンの変化を予測することが必要とな⁵⁾てきているからである。このために1日の人の行動が連鎖した一連のトリップから成り、それが1日のタイムバジェットや個人属性により規定されると考えると、人間の行動パターンを予測するためにはトリップの連鎖性、時間と空間との相互関係を考慮することが非常に重要とな⁶⁾てきている。

しかし、従来はトリップ単位で扱う方法が主流であり、これは本来同一の個人による連続したトリップが各トリップエンドで分断されてしまい、その結果一連のトリップの持つ、ていた諸特性は無視され、分断されたトリップは単に量としての意味しか持ち得なくな⁷⁾ってしまう。こうした不合理を除いたトリップの把握方法の1つがトリップチェーン⁸⁾という概念で、一連のトリップからなる個人の1日の行動を示す。

本研究では、非集計モデルを用いてトリップチェーンを記述する方法の開発を目的とする。集計モデルより細かなグループ分けをして、非集計モデルを使えば、各グループの行動をより詳細に表現できる。

2 非集計トリップチェーン記述モデルの作成

2-1 トリップチェーンの分解 本研究では非集計モデルをトリップチェーン記述に適用する。しかし、トリップチェーンという単位で分析する場合には非常に多くの様々なパターンが存在し、その全てのパターンを単純なモデルで表現することは困難である。そこで、本研究ではトリップチェーンが持つ、ている連続性を崩すことなくトリップチェーンを分解して考えることによりモデル化を容易にする。

個人が1日のうち行なう連続した行動は図1に示すように時間軸と都市空間とからなる3次元空間で表現できる。1→2, 3→4, 5→6はトリップを示し、時間の経過とともに場所が移動する。2→3, 4→5は施設を示し、時間が経過するだけで場所の移動はない。本研究では2→3, 4→5で示される施設での滞在部分に着目し、トリップの目的遷移とともに、前のトリップの到着時刻と後のトリップの発時刻をつなぐモデルの作成を試みる。つまり、前のトリップの到着時刻と目的などから次のトリップの目的と発時刻を選択するモデルである。

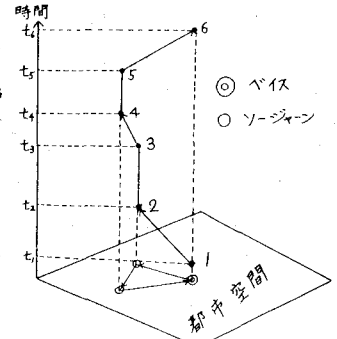


図1 トリップチェーン模式図

2-2 モデル化の仮定 次に示す仮定を設定し、トリップチェーンのモデル化を図る。①人はトリップ目的を選択した後、そのトリップの発時刻帯を選択する。②連続変数である時間を時刻帯という離散型に加え選択肢にする。③ベース(自宅)から次の状態への遷移を考えるモデルとソージャンから次の状態への遷移を考えるモデルとに分離可能である。④すべての人は完全トリップパターンを行う。⑤遷移確率は時刻、トリップ番号により変化する。

2-3 モデルの定式化 本研究で作成するモデルは次の4つである。

- i) ベース(自宅)におけるトリップ目的選択モデル
- ii) ベース(自宅)におけるトリップ発時刻帯選択モデル
- iii) ソージャン(立5寄り先)におけるトリップ目的選択モデル
- iv) ソージャン(立5寄り先)におけるトリップ発時刻帯選択モデル

各モデルの型式はいづれも次式に示す非集計ロジットモデルとする。

$$\text{選択確率 } P_n = \exp(V_n) / \sum_{n \in C_k} \exp(V_n) \quad \text{--- (1)}$$

$$\text{効用値 } V_n = \alpha_n + \sum \alpha_{nij} X_{nij} \quad \text{--- (2)}$$

n : 選択肢で各モデルについては表1に示す通りである, X_{nij} : 選択肢 n に対する要因 i , カテゴリー j のダミー変数, α_{nij} : パラメータ, α_n : 定数項, C_k : 選択肢集合

各モデルの説明要因は表1に示す通りであるが、職業性別は個人属性による影響を、トリップ番号と前トリップの到着時刻帯、目的はトリップチェーンのつながりを見るために導入する。また、発時刻帯選択モデルでは目的選択モデルに用いた要因の他にトリップ発目的が加わりこれにより「この目的でトリップするとしたら、何時にトリップするかという条件付き確率 $P_{tm}(m)$; トリップ発目的, τ ; トリップ発時刻帯)となる。そして、トリップ目的と発時刻帯の組み合わせを選択する確率は次式で示される。

モデル名	選択肢 n	説明要因
ベース	通勤, 通学, 日常	個人属性(性別, 職業)
目的選択モデル m :	非日常, 業務, 帰宅	トリップ番号, 前トリップ到着時刻帯
ベース	(6~8)時台, (9~11)時台	個人属性, トリップ発目的
発時刻帯選択モデル τ :	(12~14)時台, (15~17)時台, (18~20)時台	トリップ番号, 前トリップ到着時刻帯
ソージャーン	通勤, 通学, 日常	個人属性
目的選択モデル m :	非日常, 業務, 帰宅	トリップ番号, 前トリップ目的, 到着時刻帯
ソージャーン	(6~8)時台, (9~11)時台, (12~14)時台, (15~17)時台, (18~20)時台	個人属性, トリップ発目的
発時刻帯選択モデル τ :	(12~14)時台, (15~17)時台, (18~20)時台	トリップ番号, 前トリップ目的, 到着時刻帯

$$P_{mt} = P_m \times P_{tm} \quad (m: \text{トリップ発目的}, \tau: \text{トリップ発時刻帯}) \quad \text{--- (3)}$$

さらに、ベースのトリップ目的選択モデルには「トリップしない」、ソージャーンの目的選択モデルには「帰宅」という各固有の選択肢がある。各要因、カテゴリーについて絶対に選択することかない選択肢、あるいは、現実の集計値からはほとんどあり得ないと判断される選択肢を選択肢集合 C_k から除外する。例えば、発時刻帯は前のトリップの到着時刻帯より前になることはあり得ないので、それより前の時刻帯を発時刻帯選択肢から除外する。

2-4 モデルの推定結果 昭和56年中京都市圏P.T調査の名古屋居住者のデータを用いて前節で説明した各モデルについてキャリブレーションを行ないパラメータを推計した。その結果について一部を表2に記した。

表2 ベース目的選択モデルの係数

変数	通勤	通学	日常	非日常	業務	帰宅	トリップしない
職業別							
主婦			0.093 (0.398)	-0.158 (0.650)	-2.238 (6.621)		0
学生	4.543 (11.97)	-0.552 (1.977)	0.558 (2.257)	-2.001 (4.768)			0
性別							
男				0.144 (0.721)	-0.437 (1.979)		0
女	-0.106 (0.505)	-0.246 (0.828)	0.700 (3.458)				
トリップ番号							
第1トリップ							
6~8時台	-5.750 (11.327)	-3.128 (10.511)	-1.431 (11.314)	0.319 (0.440)	-0.179 (0.204)		0
9~11時台	-4.274 (4.677)	-4.861 (3.860)	-0.788 (2.673)	-0.074 (2.277)	0.071 (0.200)		
12~14時台	-4.765 (4.733)	-6.379 (6.871)	-0.879 (4.151)	-0.694 (2.476)	0.075 (0.242)		
15~17時台	-4.682 (10.370)	-6.084 (13.620)	-1.797 (7.592)	-1.468 (6.743)	-2.150 (5.860)		0
18~20時台	-5.451 (12.580)	-4.837 (10.660)	-2.853 (7.675)	-3.086 (6.859)	-3.462 (7.643)		
定数項	1.748 (11.430)	-1.535 (4.649)	-0.886 (4.260)	-1.011 (4.609)	-0.175 (0.866)		0

の中央 74.3%

$R^2 = 0.577$

2-5 トリップチェーンの記述方法 図2のトリップチェーン模式図に従ってトリップチェーン記述の手順について説明する。ただし今回の場合発到着時刻帯の幅が大きいので、同一のトリップの発時刻帯と到着時刻帯は同じとする。①ベースの目的選択モデル、発時刻帯選択モデルよりそれぞれ第1トリップの目的選択確率 P_{m1}^H , 発時刻帯選択確率 $P_{\tau 1}^H$ を求める。(H: 6-4ベース)②ソージャーンの目的選択モデル、発時刻帯選択モデルよりそれぞれ第2トリップの目的選択確率 P_{m2}^S , 発時刻帯選択確率 $P_{\tau 2}^S$ を求める。(S: ソージャーン)③ベースの目的選択モデルより第3トリップの目的選択確率 P_{m3}^B を求める。(m_3 : この図の場合「トリップしない」)

①②③より模式図に示されるピストン型のトリップパターンを成する確率は次式で示される。 $P^L = P_{m1}^H \cdot P_{\tau 1}^H \cdot P_{m2}^S \cdot P_{\tau 2}^S \cdot P_{m3}^B$ (1トリップパターン) --- (4)

種々のトリップパターンについても同様の方法で示される。ここで実際に「男の就業者の(6~8)時台通勤→(18~20)時台帰宅」というトリップパターンについて今回作成された各モデルを用いて選択確率を推定し、集計結果の比率と比較すると相関係数は0.98と高い値を示し、各モデルは有効といえる。

3 今後の課題 ①説明変数となる要因において第1トリップモード、商店の営業時間等の要因の導入方法の検討が必要となる。②移動部を記述できるモデルの作成及び組み込みを必要とする。③今回の選択肢の設定では時刻帯の幅が広く、実情を表現しにくい面があるので今後、これを細分化してゆく必要がある。

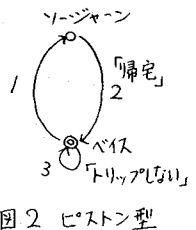


図2 ピストン型